

## تجزیه و تحلیل بیوانفورماتیکی یک ژن جدید رمز کننده

### آنتیپورتر $\text{Na}^+/\text{H}^+$ واکتوالی از گیاه علف مار ماهی

عباس عالمزاده<sup>\*</sup>

۱- استادیار گروه زراعت و اصلاح نباتات دانشکده کشاورزی دانشگاه شیراز

\* نویسنده مسئول مکاتبات، پست الکترونیکی: alelmzadeh@shirazu.ac.ir

(تاریخ دریافت: ۸۸/۲/۸ - تاریخ پذیرش: ۸۹/۲/۱۹)

#### چکیده

یک ژن رمز کننده آنتیپورتر  $\text{Na}^+/\text{H}^+$  واکتوالی از گیاه هالوفیت علف مار ماهی با نام علمی *Zostera marina* L. جدا گردید و با استفاده از برنامه‌های رایانه‌ای مورد بررسی و تجزیه قرار گرفت. جداسازی کامل این ژن با استفاده از روش واکنش زنجیره‌ای پلی‌مراز معکوس صورت گرفت. ژن مذکور حاوی ۱۱ ایتنرون است و حدود ۲/۷ کیلو جفت باز طول دارد که حاوی یک ناحیه رمز کننده ۱۶۱۷ جفت بازی است. یک پروتئین ۵۳۸ اسید آمینه‌ای توسط این ژن رمز می‌شود که احتمالاً یک آنتیپورتر  $\text{Na}^+/\text{H}^+$  واکتوالی است که در مکانیسم تحمل تنفس شوری نقش دارد. با مقایسه توالی اسید آمینه‌ای پروتئین رمز شونده توسط این ژن با سایر آنتیپورترهای گیاهی مشخص گردید که شباهت زیادی با آنتیپورترهای غلات دارد. در ناحیه بالا دست این ژن در موقعیت ۵۲ جفت باز بالا دست رمز شروع یک ORF شش اسید آمینه‌ای وجود دارد که چنین ناحیه‌ای در سایر ژن‌های جدا شده از این گیاه نیز دیده شده است. با تجزیه و تحلیل رایانه‌ای توالی اسید آمینه‌ای پروتئین رمز شونده توسط ژن جدا شده مشخص گردید سه اسید آمینه ترئوین، تیروزین و سرین در موتیف‌های حفاظت شده در پروتئین مذکور و سایر پروتئین‌های همتای موجود در بانک‌های اطلاعاتی وجود دارند که با احتمالی بیش از ۹۰ درصد فسفریله می‌شوند و احتمالاً نواحی فعال این پروتئین هستند.

#### واژه‌های کلیدی

آنتیپورتر واکتوالی،  
جداسازی ژن،  
پی‌سی‌آر معکوس،  
بیوانفورماتیک

## مقدمه

می‌توان گیاهان زراعی متحمل نسبت به تنفس شوری ایجاد نمود. علاوه بر این می‌توان با بررسی و تجزیه و تحلیل توالی نوکلئوتیدی این ژن‌ها و توالی اسید‌آمینه‌ای پروتئین‌های رمز شونده توسط آنها و مقایسه آنها با گیاهان معمولی به درک بیشتری نسبت به توانائی‌های این آنتیپورترها در مکانیسم‌های تحمل دست یافت.

گیاه علف مار ماهی (*Zostera marina* L.) با نام علمی (seagrass) یک گیاه تک لپه‌ای دریایی است که می‌تواند در شوری ۳-۵ درصد آب دریا به خوبی رشد نماید و چرخه رشد خود را کامل کند (۱۲). تا کنون مطالعات زیادی بر روی این گیاه صورت گرفته است اما درک ما از مکانیسم‌های تحمل موجود در آن بسیار ناچیز است. بر اساس بررسی‌های انجام شده مشخص شده است که این گیاه جد مشترک با برنج دارد و به همین دلیل می‌تواند به عنوان یک منبع ژنی مناسب جهت اصلاح برنج برای شرایط تنفس شوری مورد استفاده قرار گیرد (۲). در همین راستا طی تحقیقاتی سعی شده است تا ژن‌های رمز کننده پروتئین‌های مهم در مکانیسم‌های تحمل به تنفس شوری در این گیاه شناسایی و جداسازی گردد. در این مقاله نحوه جداسازی یک ایزوفرم جدید رمز کننده آنتیپورتر  $\text{Na}^+/\text{H}^+$  و اکتوولی از گیاه علف مار ماهی و نتایج حاصل از مقایسه توالی آن با سایر توالی‌های موجود در بانکهای اطلاعاتی گزارش گردیده و توالی اسید‌آمینه‌های پروتئین رمز شونده توسط آن و رابطه فیلوزنیکی آن با سایر آنتیپورترها جدا شده از سایر گیاهان مورد بررسی قرار گرفته است.

## مواد و روش‌ها

## مواد گیاهی

گیاهان از منطقه یاساورا در کشور ژاپن جمع‌آوری شدند و بالافاصله با آب شستشو داده شدند، سپس برگ‌های آن‌ها جدا شده، در ازت مایع منجمد و در دمای  $0^\circ\text{C}$ - $20^\circ\text{C}$  نگهداری شدند.

## طراحی آغازگر و واکنش زنجیره‌ای پلیمراز

DNA ژنومی به روش سقایی معروف و همکاران (۱۹۸۴) از برگ‌ها جدا گردید و با استفاده از فنل خالص شد. بر اساس

تنفس شوری یکی از مشکلات عمده کشاورزی به ویژه در مناطق خشک و نیمه خشک می‌باشد. اثرات منفی ناشی از این تنفس مانع رسیدن گیاهان به حداقل پتانسیل عملکرد می‌گردد (۹). اثرات عمده ناشی از شوری در گیاهان به دلیل افزایش غلظت یون‌های سمی در گیاه و ایجاد عدم تعادل یونی همراه با تنفس کم آبی در گیاه است (۴). سدیم یکی از یون‌هایی است که با افزایش غلظت آن در سیتوپلاسم گیاهان تحت تنفس شوری موجب اختلال در فرآیندهای بیوشیمیائی و فیزیولوژیکی گیاه می‌شود (۱۱). در حقیقت افزایش یون سدیم سبب اختلال در جذب و عمل یون پتانسیم و کاهش نسبت  $\text{Na}^+/\text{K}^+$  می‌شود که این موضوع اکثر فرآیندهای فیزیولوژیک گیاه را تحت تاثیر قرار می‌دهد (۸). بنابراین جهت تحمل تنفس شوری ضروری است که گیاه بتواند غلظت یون سدیم را در سیتوپلاسم پایین نگه دارد.

در گیاهان، یون سدیم به واسطه فعالیت آنتیپورترهای  $\text{Na}^+/\text{H}^+$  از سیتوزول به بیرون رانده می‌شود. آنتیپورترهای واکتوول با فرستادن یون‌های سدیم به درون واکتوول گیاه آن را از سیتوزول دور می‌کنند. تحت شرایط تنفس شوری، بیان ژن رمز کننده آنتیپورترهای واکتوول افزایش می‌یابد که نشان از اهمیت این پروتئین در مکانیسم‌های تحمل تنفس دارد (۶). با تحقیقات انجام شده در گیاهان مشخص گردیده است که آنتیپورترهای واکتوولی توسط یک خانواده چند ژنی رمز می‌شوند برای مثال در ذرت و آراییدوپسیس شش ایزوفرم برای این ژن وجود دارد (۱۵).

همانگونه که ذکر گردید گزارش‌های متعددی دال بر اهمیت آنتیپورترهای واکتوولی در تحمل تنفس شوری وجود دارد که در این میان ژن‌های رمز کننده این پروتئین در گیاهان هالوفیت جایگاه ویژه‌ای دارند (۹، ۱۳، ۱۴). هالوفیت‌ها با پائین نگه داشتن غلظت یون‌های سمی از جمله سدیم در سیتوزول تحت شرایط تنفس این امکان را برای خود فراهم می‌آورند که بتوانند تنفس را به خوبی پشت سر بگذارند (۹). بنابراین ژن‌های رمز کننده آنتیپورترهای واکتوولی در گیاهان هالوفیت می‌توانند نامزدهای مناسبی برای اصلاح گیاهان زراعی مهم و حساس نسبت به تنفس شوری باشند. با استفاده از این ژن‌ها از طریق مهندسی ژنتیک

### واکنش زنجیره‌ای پلیمراز معکوس

در ابتدا ۵ میکروگرم DNA ژنومی استخراج شده از برگ توسط آنزیم EcoRV هضم گردید و پس از تایید نتیجه هضم (شکل ۱)، محصول هضم توسط آنزیم لیگاز به هم دوخته شدند و یک میکرولیتر از آن به عنوان DNA الگو توسط آغازگرهای اختصاصی (در حجم ۲۵ میکرولیتر واکنش زنجیره‌ای پلیمراز شامل  $10 \text{ mM Tris}$ ,  $50 \text{ mM KCl}$  پتاسیم،  $1/5 \text{ mM Tris}$ ,  $200 \mu\text{M}$  از هر یک از dNTPها،  $0.2 \mu\text{M}$  از هر کدام از آغازگرهای  $0.5 \mu\text{M}$  از هر یک از آن آغازگرها،  $0.2 \mu\text{M}$  از هر کدام از آغازگرهای  $0.5 \mu\text{M}$  واحد آنزیم دی‌ان‌آ پلیمراز) تحت چرخه حرارتی آغازگرهای  $95^\circ\text{C}$  به مدت  $30$  ثانیه،  $55^\circ\text{C}$  به مدت  $30$  ثانیه و  $72^\circ\text{C}$  به مدت  $180$  ثانیه تکثیر شد. ۳۵ بار این چرخه تکرار گردید و بعد از آن قطعات برای تکثیر نهایی به مدت  $10$  دقیقه در  $72^\circ\text{C}$  قرار داده شدند.

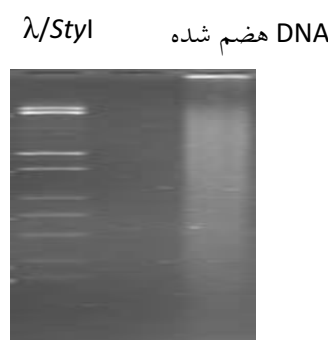
داده شدند. قطعات تکثیر شده توالی‌یابی گردید و برای بالا دست و پایین دست ناحیه رمزشونده ژن یک جفت آغازگر اختصاصی طراحی گردید و با استفاده از آنها کل توالی ژن از درون ژنوم جداسازی گردید.

نواحی حفاظت شده توالی آنتیپورترهای واکنولی در سایر گیاهان که در بانک ژن موجود می‌باشد و با استفاده از نرم‌افزار Vector NTI یک جفت آغازگر دجنه به نام DNHX1R و DNHX1F طراحی گردید (جدول ۱). عمل تکثیر با استفاده از این آغازگرهای (در حجم  $25 \text{ میکرولیتر واکنش زنجیره‌ای پلیمراز شامل } 10 \text{ mM Tris}, 50 \text{ mM KCl} \text{ پتاسیم}, 1/5 \text{ mM Tris}, 200 \mu\text{M}$  از هر یک از dNTPها،  $0.2 \mu\text{M}$  از هر کدام از آغازگرهای  $0.5 \mu\text{M}$  واحد آنزیم دی‌ان‌آ پلیمراز و  $1 \mu\text{M}$  از DNA ژنومی) تحت چرخه حرارتی  $95^\circ\text{C}$  به مدت  $30$  ثانیه،  $62^\circ\text{C}$  به مدت  $30$  ثانیه و  $72^\circ\text{C}$  به مدت  $90$  ثانیه انجام شد. ۳۵ بار این چرخه تکرار گردید و بعد از آن قطعات برای تکثیر نهایی به مدت  $10$  دقیقه در  $72^\circ\text{C}$  قرار داده شدند.

قطعه تکثیر شده در مرحله قبل توالی‌یابی گردید و مشخص گردید که این قطعه مربوط به یک آنتیپورتر واکنولی می‌باشد. با استفاده از توالی این قطعه یک جفت آغازگر اختصاصی به نام IPZMDR1 و IPZMDF1 طراحی گردید (جدول ۱) و با استفاده از تکنیک واکنش زنجیره‌ای پلیمراز معکوس نواحی  $3'$  و  $5'$  ژن تکثیر و توالی‌یابی گردید.

جدول ۱- توالی آغازگرهای مورد استفاده در تحقیق

نام آغازگر	توالی آغازگر
DNHX1F	5' – ATN TAY TTR CTN CCN CCN AT – 3'
DNHX1R	5' – RTC CAT NCC NAC RTA NAG RAA – 3'
IPZMDF1	5' – GTA AAT AGA AGC TGA CCC AGC – 3'
IPZMDR1	5' – ATA CTT TCG CAG CAC TAT CG – 3'
ZMATXF1	5' – CCA ACT GTT TCT GGG TAG ACT ACC G – 3'
ZMATXR1	5' – CAC TAG TGA TTC GCG GAT CCG – 3'



شکل ۱- هضم DNA ژنومی برگ علف مار ماهی توسط آنزیم EcoRV

یک ناحیه رمز شونده (coding sequence, CDS) ۱۶۱۷ جفت بازی می‌باشد که یک پروتئین ۵۳۸ اسید آمینه‌ای را رمز می‌کند (شکل ۴). ناحیه رمز شونده ژن به درون ناقل T-Easy الحاق و به درون باکتری کلی باسیل سویه JM109 منتقل گردید. با هضم آنزیمی، همسانه‌های مثبت حاوی DNA نوترکیب مشخص و انتخاب گردیدند. این همسانه‌ها حاوی ناحیه رمز شونده ژن بودند (شکل ۵).

با مقایسه توالی ناحیه رمز کننده با توالی کامل ژن مشخص گردید که این ژن حاوی ۱۲ اگزون و ۱۱ ایترون می‌باشد (شکل ۴). علاوه بر این، ۸۲ جفت باز بالا دست متیونین شروع کننده نیز توالی یابی گردید که در موقعیت ۵۲ جفت باز بالا دست رمز شروع حاوی یک upstream open reading frame (uORF) می‌باشد (شکل ۴). نواحی uORF اسید آمینه‌ای (MPTVSG) می‌باشد (شکل ۴). نواحی دیگری نیز در ناحیه بالا دست سایر ژن‌های این گیاه مشاهده شده است (۲، ۷). طی تحقیقات انجام شده پیشنهاد شده است که به احتمال زیاد این نواحی در تنظیم بیان ژن پائین دست خود نقش دارند (۳).

با توجه به اینکه فسفریله شدن سه اسید آمینه ترئونین (T)، تیروزین (Y) و سرین (S) در پروتئین‌ها نقش مهمی در فعالیت پروتئین‌ها و برهمکنش آنها با پروتئین‌های تنظیمی ۳-۳۱۴ دارند (۵)، احتمال فسفریله شدن این سه اسید آمینه در پروتئین رمز شونده توسط ژن مذکور و سایر پروتئین‌های همتای آن در بانک‌های اطلاعاتی با استفاده از برنامه NetPhos مشخص گردید. در توالی تمامی آنتیپورترهای واکتوولی سه ناحیه بسیار حفاظت شده حاوی حداقل یکی از سه اسید آمینه مذکور که با احتمال بیش از ۹۰٪ فسفریله می‌شدند، مشاهده گردید (شکل ۶). یک اسید آمینه تیروزین در موقعیت ۲۸۶ تا ۲۹۲ از ابتدای اکثر آنتیپورترهای واکتوولی گیاهی قرار دارد که با احتمال بیش از ۶۵ درصد فسفریله می‌گردد (شکل ۶ الف). دو اسید آمینه ترئونین پشت سرهم در موقعیت ۲۹۸ تا ۳۰۲ از ابتدای اکثر آنتیپورترهای واکتوولی گیاهی قرار دارند که با احتمال نزدیک ۹۵ درصد فسفریله می‌گرددند (شکل ۶ ب). یک اسید آمینه سرین در موقعیت ۱۳ تا ۲۱ اسید آمینه از انتهای اکثر آنتیپورترهای واکتوولی گیاهی قرار

## استخراج RNA و تهیه cDNA

با استفاده از روش لیتیم کلرید تغییر یافته (۱) RNA از برگ‌های گیاه مذکور جداسازی و با استفاده از فنل خالص گردید. با استفاده از کیت ReverTra Ace، از روی RNA استخراج شده cDNAs تهیه کردید. با استفاده آغازگرهای اختصاصی که برای cDNAs ناحیه بالا دست و پایین دست ژن طراحی شده بود ناحیه رمز شونده ژن از cDNAs جداسازی و توالی یابی گردید. ناحیه رمز کننده ژن به درون ناقل مناسب الحاق و سپس به درون باکتری Escherichia coli سویه JM109 منتقل گردید.

## نرم‌افزارهای رایانه‌ای مورد استفاده

با استفاده از بانک‌های اطلاعاتی National Center for DNA Data Bank of Biotechnology Information (NCBI) و ExPASy Japan (DDBJ)، نرم‌افزارهای موجود در آنها، ClustalW، توالی شناسایی شده با سایر توالی‌ها مقایسه گردید و نواحی مختلف آن مورد تجزیه و تحلیل رایانه‌ای قرار گرفت.

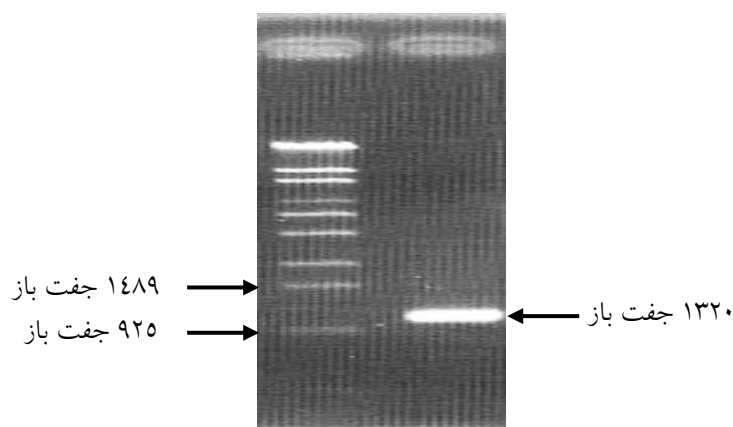
## نتایج و بحث

با استفاده از آغازگرهای طراحی شده بر اساس ناحیه حفاظت شده توالی ژن‌های رمز کننده آنتیپورتر  $\text{Na}^+/\text{H}^+$  و اکتوولی موجود در بانک اطلاعاتی NCBI و DNA ژنومی گیاه علف مار ماهی طی واکنش زنجیره‌ای پلی‌مراز یک قطعه ۱۳۲۰ جفت بازی تکثیر گردید (شکل ۲). با استفاده از آغازگرهای طراحی شده بر اساس توالی قطعه مذکور طی واکنش زنجیره‌ای پلی‌مراز معکوس یک قطعه حدود ۴۵۰۰ جفت بازی تکثیر گردید (شکل ۳). با توالی یابی این قطعه مشخص گردید که توالی آن مربوط به ژن مورد نظر می‌باشد. با مقایسه توالی قطعه تکثیر شده با سایر ژن‌های موجود در بانک‌های اطلاعاتی، رمز شروع و پایان آن مشخص گردید. با طراحی آغازگرهای اختصاصی برای ناحیه بالا دست رمز شروع و پایین دست رمز پایان کل ژن از درون ژنوم جداسازی و توالی یابی گردید. با استفاده از همین آغازگرهای ناحیه رمز شونده ژن از درون cDNAs جداسازی و توالی یابی گردید و مشخص شد که طول کامل ژن ۲۶۶۳ جفت باز است و حاوی

نمودار فیلوزنیک رسم گردید (شکل ۸). بر اساس این نمودار مشخص گردید که اسیدآمینه رمز شده توسط ژن مذکور همراه با آنتیپورترهای گندم، برنج و جو در یک گروه قرار می‌گیرد (شکل ۸). با توجه به تشابه آنتیپورتر رمز شونده توسط ژن مذکور از این گیاه با غلات و در نظر داشتن این موضوع که این گیاه یک گیاه هالوفیت است، می‌توان انتظار داشت که در آینده با انتقال ژن رمز کننده این پروتئین به غلات مهم به ویژه برنج این ژن به خوبی در این گیاهان بیان شده و سبب افزایش تحمل در آنها گردد و از این طریق قدمهای مهمی در راه اصلاح گیاهان متتحمل به شوری برداشته شود.

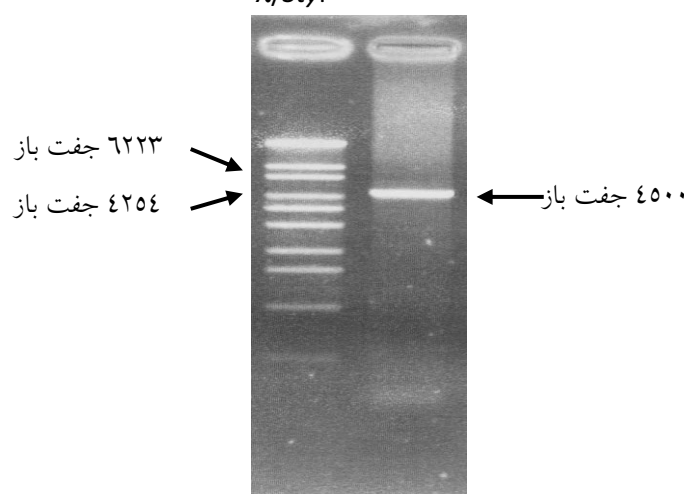
دارد که با احتمال حدود ۹۵ درصد فسفریله می‌گردد (شکل ۶) (ج). به احتمال زیاد اسیدآمینه‌های فسفریله شده مذکور نقش بسزایی در برهمکنش این پروتئین با سایر پروتئین‌ها و متعاقب آن کنترل فعالیت پروتئین مورد نظر دارد. با استفاده از سایت <http://gcat.davidson.edu/rakarnik/> (kyte-doolittle entry form kyte-doolittle.htm) مشخص گردید بر اساس شاخص کیت و دولیت تعداد دومین‌های درون غشایی پروتئین رمز شده توسط این ژن ۱۲ عدد می‌باشد (شکل ۷). با استفاده از برنامه ClustalW توالي اسیدآمینه‌ای آنتیپورترهای  $\text{Na}^+/\text{H}^+$  و اکتوالی در گیاهان همردیف شدند و بر اساس آن با استفاده از برنامه phyloDRAW همردیف شدند و بر اساس آن با استفاده از برنامه

$\lambda/\text{Styl}$



شکل ۲. یک قطعه ۱۳۲۰ جفت بازی تکثیر شده از  $\lambda$ -DNA استخراج شده از برگ با استفاده از آغازگرهای طراحی شده بر اساس توالي سایر آنتیپورترهای گیاهی.

$\lambda/\text{Styl}$

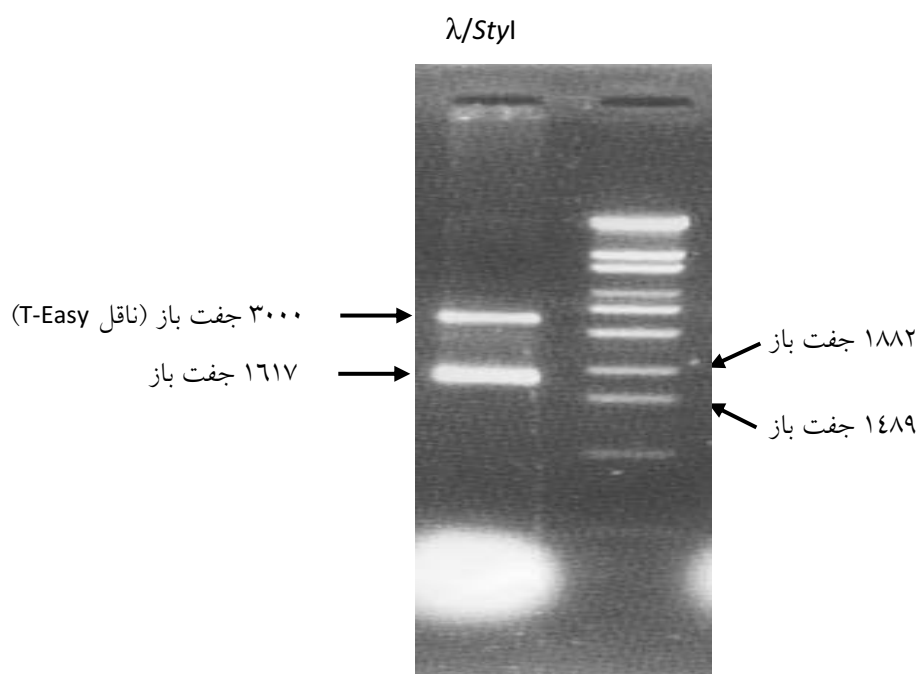


شکل ۳- یک قطعه ۴۵۰۰ جفت بازی تکثیر شده در واکنش زنجیره‌ای پلیمراز معکوس.

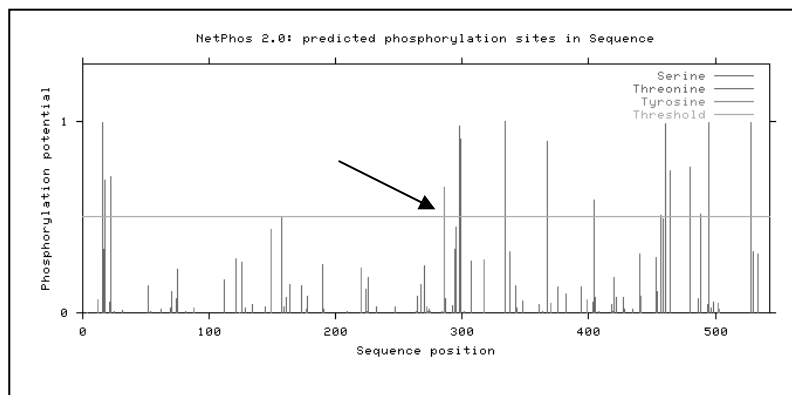
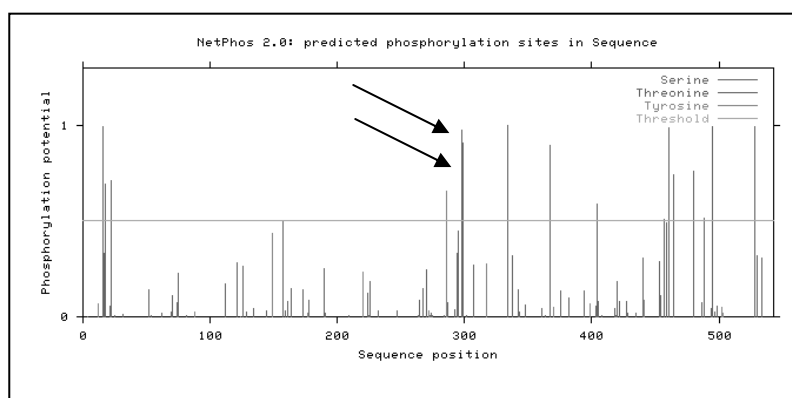
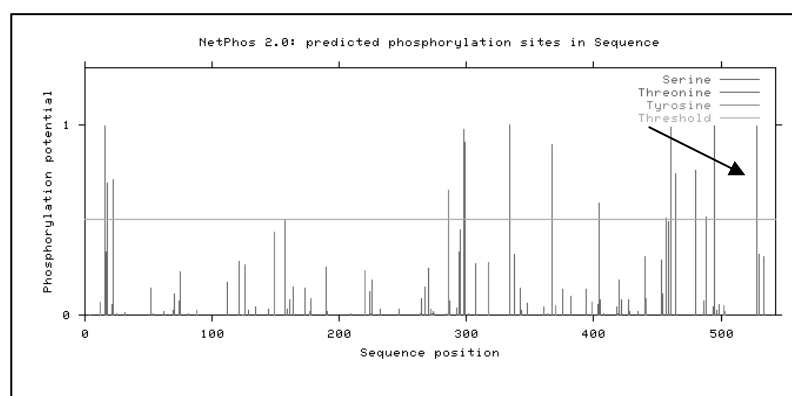
AAGCCCACGATGCCAACTGTTCTGGTAGACTACCGTTACATCCTAAATAAGGAAAAGGGATTAAARGAAAAGAAAAATGGGATAAGTTAGCAGCCGAG  
**ATAGCCAAGTATGGAGTTTGTCAACGTCCGATC**ACTTCGGCTTCGATCTGCTTGTGCCCCACGCTTCTGCAGCATCGTCATCGGACATTACTCG  
**AGGAGAACCGATGGGTAAACGAATCCATCACGGCCCTTCTCATTGAAAAACAAACATCCCTAAGAATGATTCACTTCAGTCATTTCCACATTTTCACTTCGCTATTTCATATAATGATTGATTCCAGGGACTTTAATCTGCTAACACACAATGGAAAGAGTTCACACATTGGTGTTCAGCAGGATC  
**TCTTCTTCATATTAATCTCCTATTATTTAATGCTGGTCAGCTCTATTACATTTCCTATTCAAGAAGAAAGAAAGAAAGAATCTGCTGCTT  
 GCTTACTTTCTTCTTCAGGTTCAAGTAAAAAGAAACATTTCGAAATTATGACGATTATGCTATTGGTGTGAGTCGGCACATTGATATCCTT  
**TCTTAAATTCACTGGTGTATTACTGGTGTGAAAAATAATAGGGTGTGAGACAGCATTGGGATTATCTGGTAAACTCAATTCACATCCATTGATCAGC  
 ATTGTAACATTCTATTCTGCTTAATCATTACCTTATTACCTCTTCTGTTAATTTGAAGCCCTGGAGCTATATTTCAGCTACG  
**GATTCTGTATGCACTTGCAAGTTGATTCAAACTTCTGGAAATATTAAGACAGACATGACTCATCACACCTTAATGACTAATGAAAGTAATAATAGGT  
 TCTTAATCAAGACGAGACACCGTACTACAGTTAGTGTGGAGAAGGGTGTGCAATGACCGACATCGGTTGTGTTAATGCAATCCAACACTTTGAT  
 CTTGTCACACATTGATTCAAAATTATTGCAATTCTGCTTAACACTTCTGCTGTAATTCTGTTAATTTGAAGCCCTGGAGCTATCCATTCCC  
 TGATTCTATAATTGAAATAATCACAGATTGGGTTGCTGCAATTATTCTATTCCAGACTGGACTCTAAGTGCCTTGTAAATCAAAACATTATTCGG  
**AAGGTTGCTCTAAACCTTTTCTCTGATTGGTGTGATTGGAGTTCAACTCATTCTCAAATCTGTTGACATTCTACTCATGTCAGTT  
 TCCTTAATGATGTCATGGTTACCTCTACACCTGCTAGCAGAGGTCAAATTAAATTCTCACAAACTTGAGATAAATCAATAAATGAATCATATAATCA  
 TTTATCTTATCTTATCTTATTGCACTGTTGCTATCTGAGTGTGTTGGGATAGTAATGTCGCAATTACATGCGATAATGTCGCAATTACATGTCG  
**CGGAGAGTCCCAGATAACCAAAGTATTAACTCTTAAATTAACACATTCCCTGTAATCAATCCATCATTCAACTCTGTCATATGTCGACTACTT  
 TCGCAGCACTATCGTTATTGCGAAATCTTCTCATGTTGGAATTGGATGCGTTGGATATCGAAAAGTGGAGATTATCGCGATAGGTATGGATT  
 CAGCCAATGGCAATTCTTTTATCCATTCTATTGAATTTCAAAACCTTAATTAAACCAACCAATTATTATTATTACTAATTATTGAGCTCTGGAAAATCAG  
**TTGCCATAAGTTCTATCATACTGGAACTGTTATGTTGGGAGGGCAGCATTGTGTTCCGTTGTCAATTCTATCAAATTATCAAAAATATGATCACGAGAA  
 GATTAGCTCAATCAGCAAGTGTGTTTTCTTGGGATTAGTGAATGTCATTGATGAATTACTACTGTTAATCTCCCACAGATCACCATATGGTGG  
 CTGGTCTTATGAGAGGTGCACTTCAATGGCACTTCTTACAATCAAGTTAGTATTCTTACAACACATGTCATATTTGATAATGTAATTGGA  
 AACAGTCATGTTGTTGCACTTACCACTTGGTCACACAGATATAACATGAAAATGGGTTATGATCACAGCACAACGTTGTCCTTCAGCACTGTG  
 GTAAATATTGCTCTGTCAACTGAATTGTTATGGGATTGAGAATGAACGAACGGATGAATTGACGACAGGTTTTGGATTATAACAAAACC  
**TCTGATCAGTTATCTGTACCCACCTCAACAAGGGTGAAGCATAATGAGTGTGTTGGACTCAGTCAGTCCCAGTCTTCTGCTTCTGGCGGACTCTAGGAAAT  
 AATGGGCAAGGGTGAAGAAACCCACGGTGTCTCAACCGACAAGTTGAGGATGCTTACTTCTCCACTCGTACTGTGATTATTATTGCGCTAAGTTCG  
 ACGATGCAATCATGCCAATGTTGGTGGGAGGGTTGTTCCGTTGTTCCCACAGAGGAGCAAGTGTGATCCATTAG****************

شکل ۴. توالی ژن رمز کننده یک آنتیپورت واکنولی از گیاه علف مار ماهی. نواحی رمز کننده زیرشان خط کشیده شده است. ناحیه بالا دست

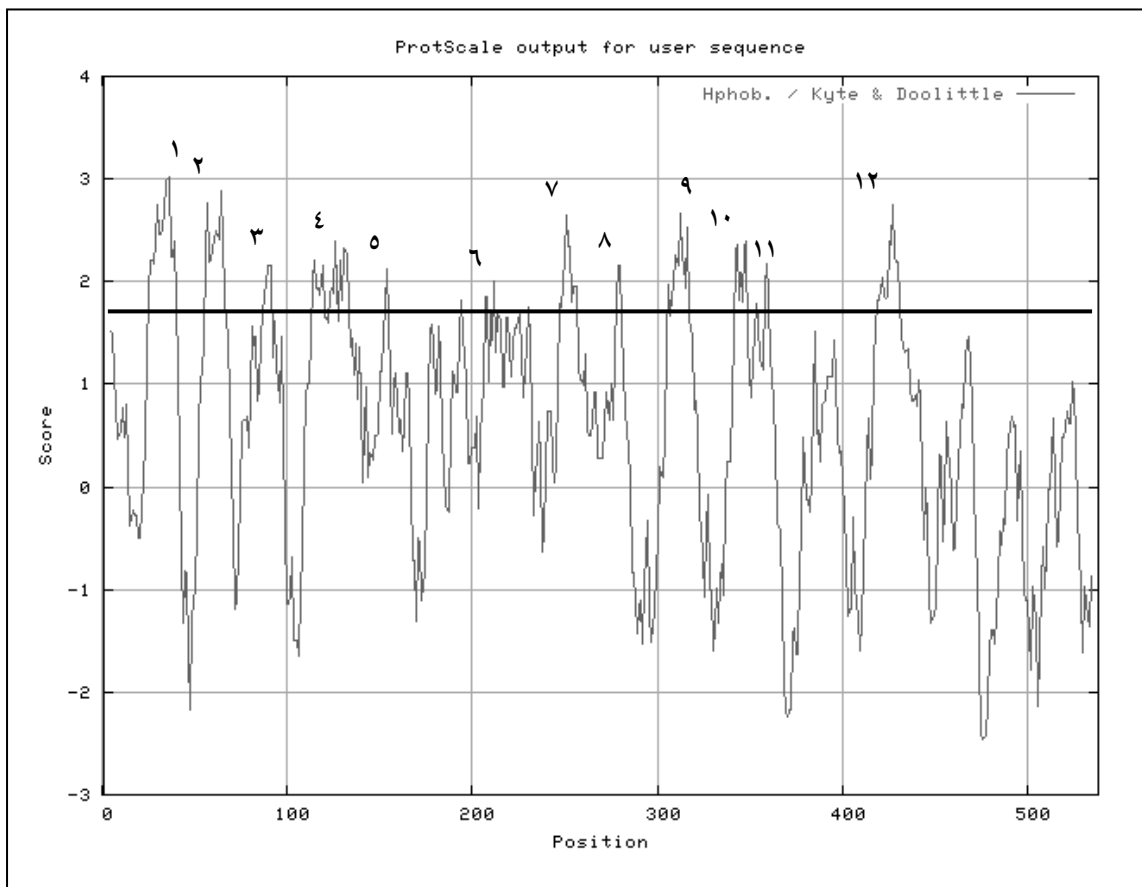
ژن دو خط زیرشان کشیده شده است. ناحیه uORF به رنگ خاکستری نشان داده شده است.



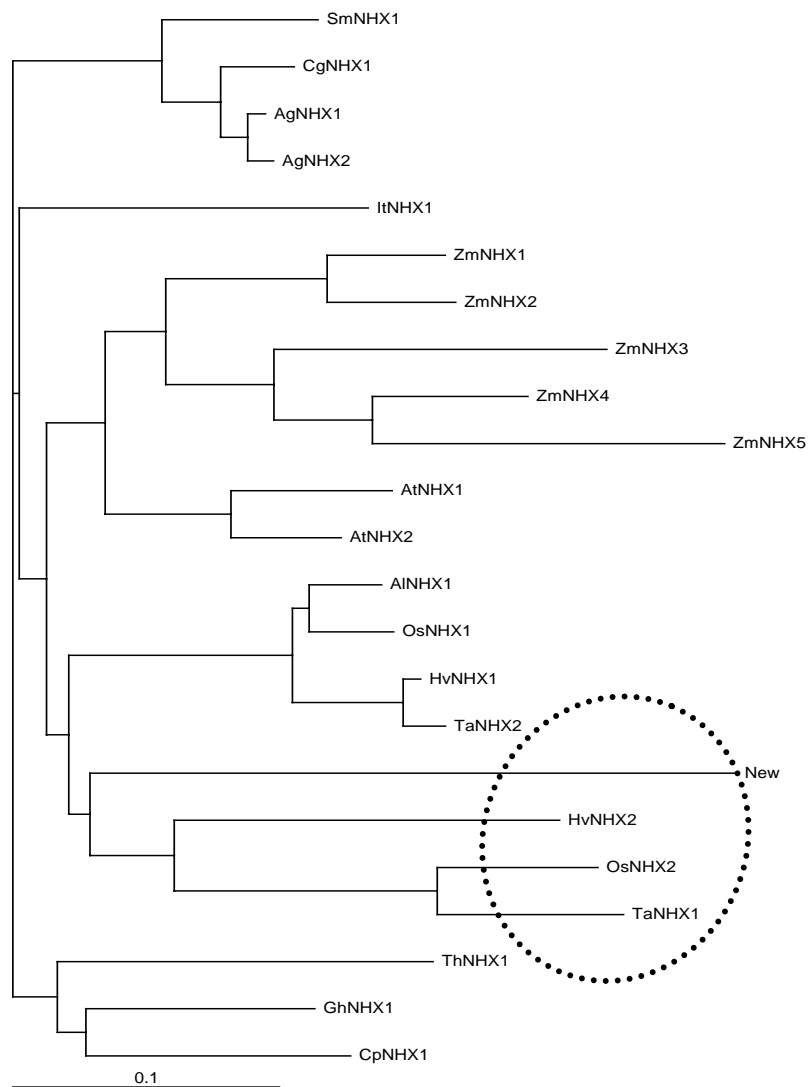
شکل ۵- ناحیه رمز شونده ژن به طول ۱۶۱۷ جفت باز در ناقل T-Easy الحاق یافته و به درون باکتری کلی باسیل سویه JM109 منتقل شد.  
 یک همسانه حاوی DNA نوترکیب (ژن + ناقل) انتخاب گردید.

الف)  $\text{V}_{87}\text{M}_{100}\text{S}_{100}\text{H}_{100}\underline{\text{Y}}_{87}\text{T}_{100}\text{W}_{100}\text{H}_{100}\text{N}_{100}\text{Y}_{100}\text{T}_{100}$ ب)  $\text{V}_{100}\text{T}_{100}\text{E}_{100}\text{S}_{96}\text{S}_{100}\text{R}_{100}\text{V}_{65}\underline{\text{T}}_{100}\underline{\text{T}}_{91}\text{K}_{87}\text{H}_{96}\text{A}_{57}\text{F}_{96}\text{A}_{96}$ ج)  $\text{F}_{83}\text{G}_{83}\text{G}_{83}\text{R}_{83}\text{G}_{100}\text{F}_{83}\text{V}_{78}\text{P}_{83}\text{F}_{91}\text{V}_{100}\text{P}_{96}\text{G}_{83}\underline{\text{S}}_{100}\text{P}_{100}$ 

شکل ۶- توالی های حفاظت شده که به احتمال زیاد فسفریله شده و با سایر پروتئین های تنظیمی برهمکنش دارند. الف) یک اسید آمینه تیروزین در موقعیت ۲۸۶ تا ۲۹۲ از ابتدای پروتئین که با احتمال بیش از ۶۵ درصد فسفریله می گردد. ب) دو اسید آمینه ترئونین پشت سرهم در موقعیت ۲۹۸ تا ۳۰۲ از ابتدای پروتئین که با احتمال نزدیک ۹۵ درصد فسفریله می گردد. ج) یک اسید آمینه سرین در موقعیت ۱۳ تا ۲۱ اسید آمینه از انتهای پروتئین که با احتمال حدود ۹۵ درصد فسفریله می گردد.



شکل ۷- نمودار هیدروپتی پروتئین آنتیپورت  $\text{Na}^+/\text{H}^+$  واکثولی رمز شونده توسط ژن جدا شده از گیاه علف مار ماهی. ۱۲ ناحیه‌ای که احتمالاً درون غشاء کشیده می‌شوند با شماره نشان داده شده‌اند.



شکل ۸. نمودار فیلوزنیک حاصل از توالی آمینواسیدی ۲۸ آنتیپورتر  $\text{Na}^+/\text{H}^+$  و اکتوولی. (Aeluropus littoralis) AlNHEX1، ۲ (Citrus paradisi) CpNHEX1، (Chenopodium glaucum) CgNHEX1، (Arabidopsis thaliana) AtNHEX1~6، (Atriplex gmelini) (Oriza sativa) OsNHEX1 و ۲، (Ipomoea tricolor) ItNHEX1، (Hordeum vulgar) HvNHEX1 و ۲، (Gossypium hirsutum) GhNHEX1، (Torenia) ThNHEX1، (Triticum aestivum) TaNHEX1 و ۲، (Suaeda maritima) SmNHEX1، (Solanum lycopersicum) SINHX1، (Zostera marina) new و (Zea mays) ZmNHEX1~5، (hybrid).

## منابع

- 1- Alemzadeh A, Fujie M, Usami S and Yamada T (2005) Isolation of high-quality RNA from high-phenolic tissue of eelgrass (*Zostera marina* L.) by keeping temperature low. *Plant Mol Bio Rep* 23, 421a-4211.
- 2- Alemzadeh A, Fujie M, Usami S, Yoshizaki T, Oyama K, Kawabata T and Yamada T (2006) Cloning and characterization of a plasma membrane  $\text{H}^+$ -ATPase (*zha2*) from eelgrass (*Zostera marina* L.) In Mercer, C. (ed.) Proceedings of the 13<sup>th</sup> Australasian Plant Breeding Conference. AgResearch, Palmerston, New Zealand. pp. 589-565.
- 3- Arango M, Gevaudant F, Oufattolle M and Boutry M (2003) The plasma membrane proton pump ATPase: the significance of gene subfamilies. *Planta*, 216: 355-365.
- 4- Blumwald E, Aharon GS, Apse MP (2000) Sodium transport in plant cells. *Biochim Biophys Acta*, 1465: 140-151.
- 5- Fuglsang AT, Visconti S, Drumm K, Jahn T, Stensballe A, Mattei B, Jensen ON, Aducci P and Palmgren MG (1999) Binding of 14-3-3 protein to the plasma membrane  $\text{H}^+$ -ATPase AHA2 involves the three C-terminal residues  $\text{Tyr}^{946}$ -Thr-Val and requires phosphorylation of  $\text{Thr}^{947}$ . *J Biol Chem*, 274: 36774-36780.
- 6- Fukuda A, Nakamura A, and Tanaka Y (1999) Molecular cloning and expression of the  $\text{Na}^+/\text{H}^+$  exchanger gene *Oryza sativa*. *Biochim Biophys Acta*, 1446: 149-155.
- 7- Fukuahara T, Pak JY, Ohwaki Y, Tsujimura H and Nitta T (1996) Tissue-specific expression of the gene for a putative plasma membrane  $\text{H}^+$ -ATPase in a seagrass. *Plant Physiol*, 110: 35-42.
- 8- Khan MA and Abdullah Z (2003) Salinity-sodicity induced changes in reproductive physiology of rice (*Oriza sativa*) under dense soil conditions. *Environ Exp Bot*, 49: 145-157.
- 9- Parida AK and Das AB (2005) Salt tolerance and salinity effects on plants: a review. *Ecotox Environ Safe*, 60: 324-349.
- 10-Saghai-Marof MA, Soliman KM, Jorgensen RA and Allard RW (1984) Ribosomal DNA spacer-length polymorphisms in barley: Mendelian inheritance, chromosomal location, and population dynamics. *Proc Natl Acad Sci USA*, 81: 8014-8018.
- 11-Tester M and Davenport R (2003)  $\text{Na}^+$  tolerance and  $\text{Na}^+$  transport in higher plants. *Ann Bot*, 91: 503-527.
- 12-Ye, C.J., Zhao, K.F. (2003) Osmotically active compounds and their localization in the marine halophyte eelgrass. *Biol. Plantarum*. 46: 137-140.
- 13-Yokoi S, Quintero FJ, Cubero B, Ruiz MT, Bressan RA, Hasegawa PM and Pardo JM (2002) Differential expression and function of *Arabidopsis thaliana* NHX  $\text{Na}^+/\text{H}^+$  antiporters in the salt stress response. *Plant J*. 30: 529-539.
- 14-Zhang HX, Hodson JN, Williams JP and Blumwald V (2005) Engineering salt-tolerant *Brassica* plants: Characterization of yield and seed oil quality in transgenic plants with increased vacuolar sodium accumulation. *Proc Natl Acad Sci USA*, 98, 12832-12836.
- 15- Zorb C, Nol A, Karl, S, Leib K, Yan F and Schubert S (2005) Molecular characterization of  $\text{Na}^+/\text{H}^+$  antiporters (*ZmNHX*) of maize (*Zea mays* L.) and their expression under salt stress. *J Plant Physiol*. 162: 55-66.